



## МАТЕМАТИЧЕСКИЕ МЕТОДЫ И МОДЕЛИ

---

УДК 539.3

**А. Ф. Верлань**, д-р техн. наук

Ин-т проблем моделирования в энергетике им. Г. Е. Пухова НАН Украины  
(Украина, 03164, Киев, ул. Генерала Наумова, 15,  
тел. (044) 4241063, E-mail: averlan@i.com.ua),

**Р. А. Абдикаримов**, канд. техн. наук

Ташкентский финансовый институт  
(Республика Узбекистан, 100084, Ташкент, Кичик халка йули, 7,  
тел. (99871) 2346641, E-mail: rabdikarimov@mail.ru),

**Х. Эшматов**, д-р техн. наук

Ташкентский институт ирригации и мелиорации  
(Республика Узбекистан, 100000, Ташкент, ул. Кары Ниязова, 39,  
тел. (99871) 2371948, E-mail: heshmatov@mail.ru)

### Численное моделирование нелинейных задач динамики вязкоупругих систем с переменной жесткостью

Приведены численный метод и алгоритм решения систем нелинейных интегро-дифференциальных уравнений типа Вольтерры. С помощью предложенного метода решены задачи о нелинейных колебаниях вязкоупругих прямоугольных пластин переменной толщины.

Наведено чисельний метод і алгоритм розв'язування систем нелінійних інтегро-диференціальних рівнянь типу Вольтерри. З використанням запропонованого методу розв'язано задачі про нелінійні коливання в'язкопружних прямоукутних пластин змінної товщини.

*Ключевые слова:* математическая модель, вязкоупругая пластинка, переменная толщина, нелинейные колебания, метод Бубнова—Галеркина, численный метод.

**Математическая модель.** Для построения математической модели задачи о нелинейном колебании вязкоупругой изотропной оболочки с переменной жесткостью в геометрически нелинейной постановке по кинематической гипотезе Кирхгофа—Лява физическую зависимость между напряжениями  $\sigma_x$ ,  $\sigma_y$ ,  $\tau_{xy}$  и деформациями  $\varepsilon_x$ ,  $\varepsilon_y$ ,  $\gamma_{xy}$  примем в виде [1, 2]

$$\begin{aligned}\sigma_x &= \frac{E}{1-\mu^2} (1-\Gamma^*) (\varepsilon_x + \mu \varepsilon_y), \quad x \leftrightarrow y, \\ \tau_{xy} &= \frac{E}{2(1+\mu)} (1-\Gamma^*) \gamma_{xy},\end{aligned}\tag{1}$$

где  $\Gamma^*$  — интегральный оператор с ядром релаксации  $\Gamma(t)$ ,

$$\Gamma^* \varphi = \int_0^t \Gamma(t-\tau) \varphi(\tau) d\tau;$$

$\mu$  — коэффициент Пуассона;  $E$  — модуль упругости. Здесь и в дальнейшем символ  $x \leftrightarrow y$  указывает, что остальные соотношения получаются круговой подстановкой индексов.

Связь между деформациями в срединной поверхности  $\varepsilon_x, \varepsilon_y, \gamma_{xy}$  и перемещениями  $u, v, w$  по направлениям  $x, y, z$  примем в виде [3]

$$\begin{aligned} \varepsilon_x &= \frac{\partial u}{\partial x} - k_x w + \frac{1}{2} \left( \frac{\partial w}{\partial x} \right)^2, \quad \varepsilon_y = \frac{\partial v}{\partial y} - k_y w + \frac{1}{2} \left( \frac{\partial w}{\partial y} \right)^2, \\ \gamma_{xy} &= \frac{\partial u}{\partial y} + \frac{\partial v}{\partial x} + \frac{\partial w}{\partial x} \frac{\partial w}{\partial y}, \end{aligned} \quad (2)$$

где  $k_x, k_y$  — кривизны срединной поверхности оболочки,  $k_x, k_y = \text{const.}$

Изгибающие и крутящие моменты элемента оболочки имеют вид

$$\begin{aligned} M_x &= -D(1-\Gamma^*) \left( \frac{\partial^2 w}{\partial x^2} + \mu \frac{\partial^2 w}{\partial y^2} \right), \quad x \leftrightarrow y, \\ H &= -D(1-\mu)(1-\Gamma^*) \frac{\partial^2 w}{\partial x \partial y}. \end{aligned} \quad (3)$$

Здесь  $D$  — переменная цилиндрическая жесткость оболочки,

$$D = \frac{Eh^3}{12(1-\mu^2)},$$

где  $h = h(x, y)$ .

Уравнения движения элемента вязкоупругой изотропной оболочки с переменной жесткостью примем в виде [3, 4]

$$\begin{aligned} \frac{\partial N_x}{\partial x} + \frac{\partial N_{xy}}{\partial y} + p_x - \rho h \frac{\partial^2 u}{\partial t^2} &= 0, \quad \frac{\partial N_{xy}}{\partial x} + \frac{\partial N_y}{\partial y} + p_y - \rho h \frac{\partial^2 v}{\partial t^2} = 0, \\ \frac{\partial^2 M_x}{\partial x^2} + \frac{\partial^2 M_y}{\partial y^2} + 2 \frac{\partial^2 H}{\partial x \partial y} + k_x N_x + k_y N_y + \frac{\partial}{\partial x} \left( N_x \frac{\partial w}{\partial x} + N_{xy} \frac{\partial w}{\partial y} \right) + \\ + \frac{\partial}{\partial y} \left( N_{xy} \frac{\partial w}{\partial x} + N_y \frac{\partial w}{\partial y} \right) + q - \rho h \frac{\partial^2 w}{\partial t^2} &= 0. \end{aligned} \quad (4)$$

Здесь  $N_x$ ,  $N_y$  и  $N_{xy}$  — усилия, отнесенные к единице длины сечения оболочки,

$$N_x = \sigma_x h, N_y = \gamma_{xy} h; \quad (5)$$

$p_x$ ,  $p_y$  и  $q$  — интенсивность заданных внешних нагрузок, приложенных к элементу по направлениям соответственно  $x$ ,  $y$  и  $z$ .

Подставляя (3) и (5) в (4), получаем систему нелинейных интегро-дифференциальных уравнений с переменными коэффициентами:

$$\begin{aligned} & (1-\Gamma^*) \left[ h \left( \frac{\partial \varepsilon_x}{\partial x} + \mu \frac{\partial \varepsilon_y}{\partial x} + \frac{1-\mu}{2} \frac{\partial \gamma_{xy}}{\partial y} \right) + \frac{\partial h}{\partial x} (\varepsilon_x + \mu \varepsilon_y) + \frac{1-\mu}{2} \frac{\partial h}{\partial y} \gamma_{xy} \right] + \\ & \quad + \frac{1-\mu^2}{E} p_x - \rho h \frac{1-\mu^2}{E} \frac{\partial^2 u}{\partial t^2} = 0, \\ & (1-\Gamma^*) \left[ h \left( \frac{\partial \varepsilon_y}{\partial y} + \mu \frac{\partial \varepsilon_x}{\partial y} + \frac{1-\mu}{2} \frac{\partial \gamma_{xy}}{\partial x} \right) + \frac{\partial h}{\partial y} (\varepsilon_y + \mu \varepsilon_x) + \frac{1-\mu}{2} \frac{\partial h}{\partial x} \gamma_{xy} \right] + \\ & \quad + \frac{1-\mu^2}{E} p_y - \rho h \frac{1-\mu^2}{E} \frac{\partial^2 v}{\partial t^2} = 0, \\ & (1-\Gamma^*) \left\{ \left[ D \nabla^4 w + 2 \frac{\partial D}{\partial x} \frac{\partial}{\partial x} \nabla^2 w + 2 \frac{\partial D}{\partial y} \frac{\partial}{\partial y} \nabla^2 w + \nabla^2 D \nabla^2 w - \right. \right. \\ & \quad \left. \left. - (1-\mu) \left( \frac{\partial^2 D}{\partial x^2} \frac{\partial^2 w}{\partial y^2} - 2 \frac{\partial^2 D}{\partial x \partial y} \frac{\partial^2 w}{\partial x \partial y} + \frac{\partial^2 D}{\partial y^2} \frac{\partial^2 w}{\partial x^2} \right) \right] + \right. \\ & \quad \left. + \frac{Eh}{1-\mu^2} [(k_x + \mu k_y) \varepsilon_x + (\mu k_x + k_y) \varepsilon_y] \right\} + \\ & \quad + \frac{Eh}{1-\mu^2} \left\{ \frac{\partial}{\partial x} \left[ \frac{\partial w}{\partial x} (1-\Gamma^*) (\varepsilon_x + \mu \varepsilon_y) + \frac{1-\mu}{2} \frac{\partial w}{\partial y} (1-\Gamma^*) \gamma_{xy} \right] + \right. \\ & \quad \left. + \frac{\partial}{\partial y} \left[ \frac{\partial w}{\partial y} (1-\Gamma^*) (\varepsilon_y + \mu \varepsilon_x) + \frac{1-\mu}{2} \frac{\partial w}{\partial x} (1-\Gamma^*) \gamma_{xy} \right] \right\} + \\ & \quad + \frac{E}{1-\mu^2} \frac{\partial h}{\partial x} \left[ \frac{\partial w}{\partial x} (1-\Gamma^*) (\varepsilon_x + \mu \varepsilon_y) + \frac{1-\mu}{2} \frac{\partial w}{\partial y} (1-\Gamma^*) \gamma_{xy} \right] + \\ & \quad + \frac{E}{1-\mu^2} \frac{\partial h}{\partial y} \left[ \frac{\partial w}{\partial y} (1-\Gamma^*) (\varepsilon_y + \mu \varepsilon_x) + \frac{1-\mu}{2} \frac{\partial w}{\partial x} (1-\Gamma^*) \gamma_{xy} \right] + q - \rho h \frac{\partial^2 w}{\partial t^2} = 0, \end{aligned} \quad (6)$$

где  $\varepsilon_x$ ,  $\varepsilon_y$ ,  $\gamma_{xy}$  определяются из (2). Следует заметить, что система нелинейных интегро-дифференциальных уравнений движения вязкоупругой

оболочки относительно перемещений  $u$ ,  $v$  и  $w$  (6) является достаточно общей. Из нее в частном случае можно получить уравнения движения вязкоупругих пластин, пологих и цилиндрических оболочек постоянной и переменной толщины. Для полного определения задачи к интегро-дифференциальным уравнениям (6) необходимо добавить граничные и начальные условия.

Подобные задачи в различных постановках были рассмотрены в [5, 6], а именно задача об изгибе упругих оболочек и пластин с переменной жесткостью исследована в [5], а динамические задачи с учетом температуры — в [6].

**Метод Бубнова—Галеркина.** Численные методы решения систем нелинейных интегро-дифференциальных уравнений типа Вольтерры. При решении полученных уравнений с помощью метода Бубнова—Галеркина необходимо найти системы функций, аппроксимирующие исходные составляющие  $u$ ,  $v$ ,  $w$ . При этом каждая из функций соответствующей системы должна удовлетворять граничным условиям, которым удовлетворяет аппроксимируемая функция, а сама система должна быть полной [7].

С помощью метода Бубнова—Галеркина решение уравнений (6) находим в следующем виде:

$$\begin{aligned} u(x, y, t) &= \sum_{n=1}^N \sum_{m=1}^M u_{nm}(t) \phi_{nm}(x, y), \\ v(x, y, t) &= \sum_{n=1}^N \sum_{m=1}^M v_{nm}(t) \varphi_{nm}(x, y), \\ w(x, y, t) &= \sum_{n=1}^N \sum_{m=1}^M w_{nm}(t) \psi_{nm}(x, y), \end{aligned} \tag{7}$$

где  $u_{nm} = u_{nm}(t)$ ,  $v_{nm} = v_{nm}(t)$ ,  $w_{nm} = w_{nm}(t)$  — неизвестные функции времени;  $\phi_{nm}(x, y)$ ,  $\varphi_{nm}(x, y)$  и  $\psi_{nm}(x, y)$ ,  $n = 1, 2, \dots, N$ ,  $m = 1, 2, \dots, M$  — координатные функции, удовлетворяющие заданным граничным условиям задачи.

После применения метода Бубнова—Галеркина, в общем случае, рассматриваемая задача сводится к решению системы нелинейных интегро-дифференциальных уравнений:

$$\sum_{n=1}^N \sum_{m=1}^M (a_{klmn} \ddot{u}_{nm} + \lambda_{nmkl}^2 u_{nm}) = X_{nm}(t, u_{11}, \dots, u_{NM}, v_{11}, \dots, v_{NM}, w_{11}, \dots, w_{NM}),$$

$$\begin{aligned}
 & \int_0^t \phi_{nm}(t, \tau, u_{11}, \dots, u_{NM}, v_{11}, \dots, v_{NM}, w_{11}, \dots, w_{NM}) d\tau), \\
 & \sum_{n=1}^N \sum_{m=1}^M (b_{klmn} \ddot{v}_{nm} + \chi_{klmn}^2 v_{nm}) = Y_{nm}(t, u_{11}, \dots, u_{NM}, v_{11}, \dots, v_{NM}, w_{11}, \dots, w_{NM}), \\
 & \int_0^t \varphi_{nm}(t, \tau, u_{11}, \dots, u_{NM}, v_{11}, \dots, v_{NM}, w_{11}, \dots, w_{NM}) d\tau), \\
 & \sum_{n=1}^N \sum_{m=1}^M (c_{klmn} \ddot{w}_{nm} + \omega_{klmn}^2 w_{nm}) = Z_{nm}(t, u_{11}, \dots, u_{NM}, v_{11}, \dots, v_{NM}, w_{11}, \dots, w_{NM}), \\
 & \int_0^t \psi_{nm}(t, \tau, u_{11}, \dots, u_{NM}, v_{11}, \dots, v_{NM}, w_{11}, \dots, w_{NM}) d\tau), \\
 & u_{nm}(0) = u_{0nm}, \dot{u}_{nm}(0) = \dot{u}_{0nm}, v_{nm}(0) = v_{0nm}, \dot{v}_{nm}(0) = \dot{v}_{0nm}, \\
 & w_{nm}(0) = w_{0nm}, \dot{w}_{nm}(0) = \dot{w}_{0nm},
 \end{aligned} \tag{8}$$

где  $u_{nm} = u_{nm}(t)$ ,  $v_{nm} = v_{nm}(t)$ ,  $w_{nm} = w_{nm}(t)$  — неизвестные функции времени;  $X_{nm}$ ,  $Y_{nm}$ ,  $Z_{nm}$ ,  $\phi_{nm}$ ,  $\varphi_{nm}$ ,  $\psi_{nm}$  — непрерывные функции в области изменения аргументов;  $a_{klmn}$ ,  $b_{klmn}$ ,  $c_{klmn}$ ,  $\lambda_{klmn}^2$ ,  $\chi_{klmn}^2$ ,  $\omega_{klmn}^2$ ,  $n = 1, 2, \dots, N$ ,  $m = 1, 2, \dots, M$  — заданные постоянные числа.

Численный метод, предложенный в [8, 9], применим для решения систем нелинейных интегро-дифференциальных уравнений (8). Запишем систему (8) в матричном виде:

$$\begin{aligned}
 A\ddot{\mathbf{u}} + \Lambda\mathbf{u} &= \mathbf{X}\left(t, \mathbf{u}, \mathbf{v}, \mathbf{w}, \int_0^t \boldsymbol{\phi}(t, \tau, \mathbf{u}(\tau), \mathbf{v}(\tau), \mathbf{w}(\tau)) d\tau\right), \\
 B\ddot{\mathbf{v}} + H\mathbf{v} &= \mathbf{Y}\left(t, \mathbf{u}, \mathbf{v}, \mathbf{w}, \int_0^t \boldsymbol{\varphi}(t, \tau, \mathbf{u}(\tau), \mathbf{v}(\tau), \mathbf{w}(\tau)) d\tau\right), \\
 C\ddot{\mathbf{w}} + \Omega\mathbf{w} &= \mathbf{Z}\left(t, \mathbf{u}, \mathbf{v}, \mathbf{w}, \int_0^t \boldsymbol{\psi}(t, \tau, \mathbf{u}(\tau), \mathbf{v}(\tau), \mathbf{w}(\tau)) d\tau\right),
 \end{aligned} \tag{9}$$

$$\mathbf{u}(0) = \mathbf{u}_0, \dot{\mathbf{u}}(0) = \dot{\mathbf{u}}_0, \mathbf{v}(0) = \mathbf{v}_0, \dot{\mathbf{v}}(0) = \dot{\mathbf{v}}_0, \mathbf{w}(0) = \mathbf{w}_0, \dot{\mathbf{w}}(0) = \dot{\mathbf{w}}_0.$$

Систему (9) перепишем в виде

$$T\ddot{\mathbf{x}} + P\mathbf{x} = \Pi\left(t, \mathbf{x}, \int_0^t \boldsymbol{\psi}(\tau, \mathbf{x}) d\tau\right), \quad \mathbf{x}(0) = \mathbf{x}_0, \quad \dot{\mathbf{x}}(0) = \dot{\mathbf{x}}_0, \tag{10}$$

где

$$T = \begin{pmatrix} A & 0 & 0 \\ 0 & B & 0 \\ 0 & 0 & C \end{pmatrix}, P = \begin{pmatrix} \Lambda & 0 & 0 \\ 0 & H & 0 \\ 0 & 0 & \Omega \end{pmatrix}, \mathbf{x} = \begin{pmatrix} \mathbf{u} \\ \mathbf{v} \\ \mathbf{w} \end{pmatrix}, \boldsymbol{\Pi} = \begin{pmatrix} \mathbf{X} \\ \mathbf{Y} \\ \mathbf{Z} \end{pmatrix}, \boldsymbol{\Psi} = \begin{pmatrix} \phi \\ \varphi \\ \psi \end{pmatrix},$$

$$A = \begin{pmatrix} A_{11} & A_{12} & \cdots & A_{1N} \\ A_{21} & A_{22} & \cdots & A_{2N} \\ \cdots & \cdots & \cdots & \cdots \\ A_{N1} & A_{N2} & \cdots & A_{NN} \end{pmatrix}, \quad \Lambda = \begin{pmatrix} \Lambda_{11} & \Lambda_{12} & \cdots & \Lambda_{1N} \\ \Lambda_{21} & \Lambda_{22} & \cdots & \Lambda_{2N} \\ \cdots & \cdots & \cdots & \cdots \\ \Lambda_{N1} & \Lambda_{N2} & \cdots & \Lambda_{NN} \end{pmatrix},$$

$$\mathbf{X} = \begin{pmatrix} \mathbf{X}_1 \\ \mathbf{X}_2 \\ \vdots \\ \mathbf{X}_N \end{pmatrix}, \boldsymbol{\Phi} = \begin{pmatrix} \boldsymbol{\Phi}_1 \\ \boldsymbol{\Phi}_2 \\ \vdots \\ \boldsymbol{\Phi}_N \end{pmatrix}, \mathbf{u} = \begin{pmatrix} \mathbf{u}_1 \\ \mathbf{u}_2 \\ \vdots \\ \mathbf{u}_N \end{pmatrix}.$$

Матрицы и векторы, используемые здесь как элементы матриц и векторов, имеют следующий вид:

$$A_{kn} = \begin{pmatrix} a_{k1n1} & a_{k1n2} & \cdots & a_{k1nM} \\ a_{k2n1} & a_{k2n2} & \cdots & a_{k2nM} \\ \cdots & \cdots & \cdots & \cdots \\ a_{kMn1} & a_{kMn2} & \cdots & a_{kMnM} \end{pmatrix}, \quad \Lambda_{kn} = \begin{pmatrix} \lambda_{k1n1}^2 & \lambda_{k1n2}^2 & \cdots & \lambda_{k1nM}^2 \\ \lambda_{k2n1}^2 & \lambda_{k2n2}^2 & \cdots & \lambda_{k2nM}^2 \\ \cdots & \cdots & \cdots & \cdots \\ \lambda_{kMn1}^2 & \lambda_{kMn2}^2 & \cdots & \lambda_{kMnM}^2 \end{pmatrix},$$

$$\mathbf{u}_n = \begin{pmatrix} u_{n1} \\ u_{n2} \\ \vdots \\ u_{nM} \end{pmatrix}, \quad \mathbf{X}_n = \begin{pmatrix} X_{n1} \\ X_{n2} \\ \vdots \\ X_{nM} \end{pmatrix}, \quad \boldsymbol{\Phi}_n = \begin{pmatrix} \phi_{n1} \\ \phi_{n2} \\ \vdots \\ \phi_{nM} \end{pmatrix}.$$

Аналогично записываем выражения для матриц и векторов второго и третьего уравнения системы (9).

Решая систему (10) относительно  $\mathbf{x}$ , для определения неизвестных в точках  $t_i = i \Delta t$ ,  $i=0, 1, 2, \dots$ , где  $\Delta t$  — шаг интерполяции, получаем следующую рекуррентную формулу:

$$\mathbf{x}_{i+1} = \mathbf{x}_0 t_{i+1} + \mathbf{x}_0 + T^{-1} \sum_{j=0}^i A_j(t_{i+1} + t_j) \left[ -P \mathbf{x}_j + \boldsymbol{\Pi}(t_j, \mathbf{x}_j, \sum_{k=0}^j B_k \boldsymbol{\Psi}(t_j, t_k, \mathbf{x}_k)) \right],$$

где  $T^{-1}$  — матрица, обратная клеточной матрице  $T$ ;  $A_j$ ,  $B_k$ ,  $j=0, 1, \dots, i$ ,  $k=0, 1, \dots, j$ , — узлы интерполяционной формулы.

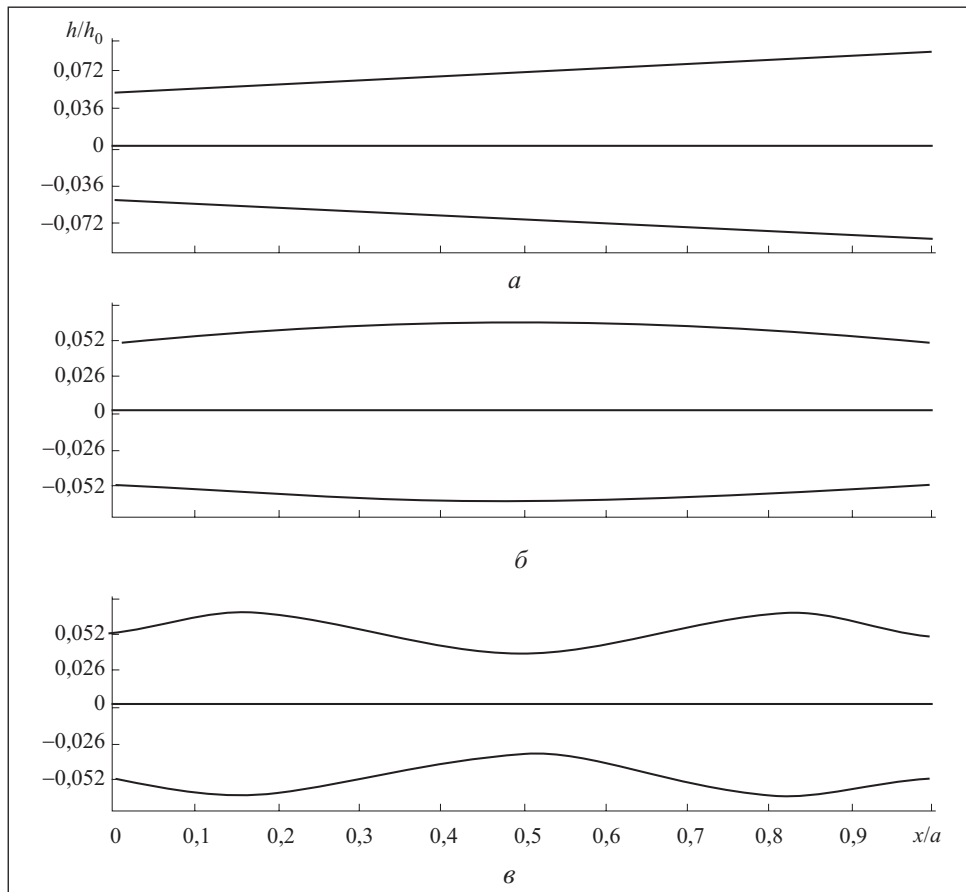


Рис. 1. Профили толщины вязкоупругой пластины, полученные сечением пластины плоскостью  $yOx$ : а —  $r = 0,5$ ; б —  $r = 1$ ; в —  $r = 2$

**Расчет нелинейных колебаний вязкоупругих систем с переменной жесткостью.** Рассмотрим задачу о нелинейном колебании вязкоупругой прямоугольной пластины переменной толщины  $h = h(x, y)$  со сторонами  $a$  и  $b$  (рис. 1). Пусть пластина шарнирно оперта по всем краям. Решение уравнения (6), удовлетворяющее граничным условиям задачи, находим в виде (7), где

$$\begin{aligned}\phi_{nm}(x, y) &= \cos \frac{n\pi x}{a} \sin \frac{m\pi y}{b}, \\ \varphi_{nm}(x, y) &= \sin \frac{n\pi x}{a} \cos \frac{m\pi y}{b},\end{aligned}$$

$$\psi_{nm}(x, y) = \sin \frac{n\pi x}{a} \sin \frac{m\pi y}{b}.$$

Подставляя (7) в систему уравнений (6), считая при этом для вязкоупругой пластины  $k_x = k_y = 0$ , и выполняя процедуру Бубнова—Галеркина, для определения неизвестных  $u_{kl}$ ,  $v_{kl}$  и  $w_{kl}$  получаем систему нелинейных интегро-дифференциальных уравнений

$$\begin{aligned} & \sum_{n=1}^N \sum_{m=1}^M a_{klmn} \ddot{u}_{nm} - \eta_1 (1 - \Gamma^*) \times \\ & \times \left\{ \sum_{n=1}^N \sum_{m=1}^M \left( d_{1klmn} u_{nm} + \lambda e_{1klmn} v_{nm} - \frac{\lambda (k_x + \mu k_y)}{\delta} f_{1klmn} w_{nm} \right) + \right. \\ & \left. + \frac{1}{\delta} \sum_{n,i=1}^N \sum_{n,j=1}^M g_{1klnmij} w_{nm} w_{ij} \right\} = 0, \\ & \sum_{n=1}^N \sum_{m=1}^M b_{klmn} \ddot{v}_{nm} - \eta_2 (1 - \Gamma^*) \times \\ & \times \left\{ \sum_{n=1}^N \sum_{m=1}^M \left( \frac{1}{\lambda} d_{2klmn} u_{nm} + e_{2klmn} v_{nm} - \frac{k_y + \mu k_x}{\delta} f_{2klmn} w_{nm} \right) + \right. \\ & \left. + \frac{1}{\delta} \sum_{n,i=1}^N \sum_{m,j=1}^M g_{2klnmij} w_{nm} w_{ij} \right\} = 0, \\ & \sum_{n=1}^N \sum_{m=1}^M c_{klmn} \ddot{w}_{nm} + \eta_3 (1 - \Gamma^*) \left\{ \sum_{n=1}^N \sum_{m=1}^M (d_{3klmn} u_{nm} + e_{3klmn} v_{nm} + f_{3klmn} w_{nm}) - \right. \\ & \left. - \sum_{n,i=1}^N \sum_{m,j=1}^M g_{3klnmij} w_{nm} w_{ij} \right\} - \eta_3 \sum_{n,i=1}^N \sum_{m,j=1}^M w_{nm} (1 - \Gamma^*) , \\ & (d_{4klnmij} u_{ij} + e_{4klnmij} v_{ij} + f_{4klnmij} w_{ij}) - \sum_{n,i,r=1}^N \sum_{m,j,s=1}^M g_{klnmijrs} w_{nm} (1 - \Gamma^*) w_{ij} w_{rs} = 0, \end{aligned}$$

где постоянные коэффициенты, входящие в эту систему, связаны с координатными функциями и их производными.

Интегрирование полученной системы нелинейных интегро-дифференциальных уравнений выполнено с помощью численного метода, основанного на использовании квадратурных формул [8, 9]. При расчетах в качестве  $\Gamma(t)$  использовано слабосингулярное ядро Колтунова—Ржаницына [2]:

$$\Gamma(t) = A e^{-\beta t} t^{\alpha-1}, \quad 0 < \alpha < 1.$$

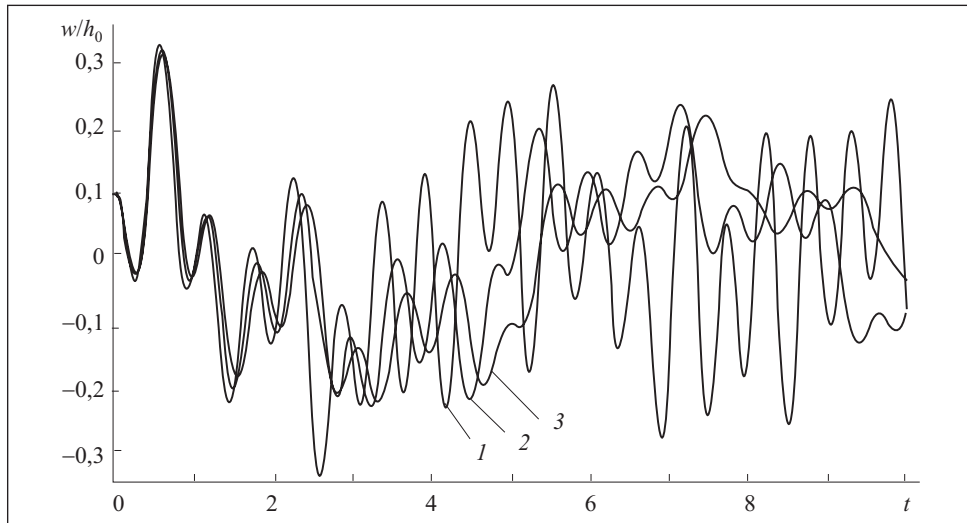


Рис. 2. Зависимость прогиба в срединной точке упругой (кривая 1) и вязкоупругой (кривые 2, 3) пластин от времени: 1 —  $A = 0$ ; 2 —  $A = 0,03$ ; 3 —  $A = 0,05$

На основе разработанного алгоритма составлена программа на языке Delphi. Вычисления проводились при различных значениях реологических и геометрических параметров вязкоупругой пластины.

Рассмотрим частные случаи этой задачи, когда толщина пластины изменяется только в одном направлении, вдоль оси  $Ox$ , по следующим законам:

$$h = h(x) = h_0 \left(1 + \alpha^* \frac{x}{a}\right), \quad h_0 = h(0) = \text{const}, \quad 0 < \alpha < 1, \quad (11)$$

$$h = h(x) = h_0 [1 + 0,3 \sin(2r - 1)\pi x], \quad h_0 = h(0) = \text{const}, \quad (12)$$

где  $\alpha^*, r$  — параметры изменения толщины.

Результаты вычислений представлены в виде графиков на рис. 2 и 3, где в качестве исходных данных принято:  $u_0 = 0$ ,  $v_0 = 0$ ,  $w_0 = 0,1$ ,  $A = 0,03$ ,  $\alpha = 0,25$ ,  $\beta = 0,05$ ,  $\mu = 0,32$ ,  $\lambda = a/b = 1$ ,  $\delta = b/h_0 = 25$ ,  $q = 0$ .

Следует заметить, что на начальной стадии различие в решении упругих и вязкоупругих задач несущественное. С течением времени колебание при  $A = 0$  приближается к гармоническому закону, с увеличением значения  $A$  амплитуда и частота колебаний значительно уменьшаются. Таким образом, полученные результаты свидетельствуют о том, что влияние вязкоупругости материала пластины переменной толщины приводит к уменьшению амплитуды и частоты колебаний.

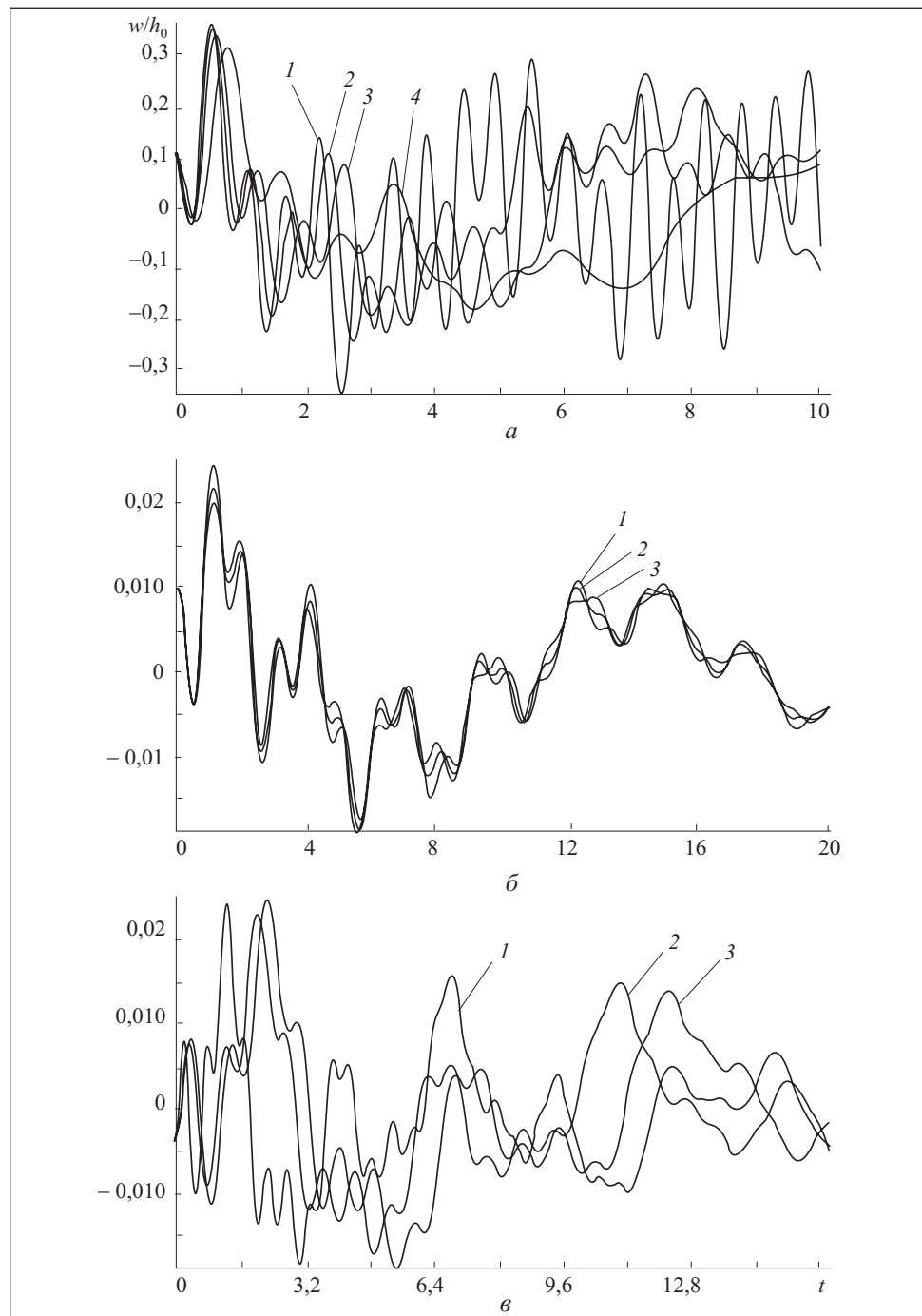


Рис. 3. Зависимость прогиба вязкоупругой пластины от времени:  $a$  — 1 —  $A = 0$ ; 2 —  $A = 0,03$ ,  $\alpha = 0,2$ ; 3 —  $A = 0,03$ ,  $\alpha = 0,1$ ; 4 —  $A = 0,03$ ,  $\alpha = 0,05$ ;  $\delta$  — 1 —  $\alpha^* = 0$ ; 2 —  $\alpha^* = 0,3$ ; 3 —  $\alpha^* = 0,5$ ;  $\varepsilon$  — 1 —  $r = 0,5$ ; 2 —  $r = 1$ ; 3 —  $r = 2$

Поведение вязкоупругой пластины переменной толщины при различных значениях реологического параметра  $\alpha$  представлено на рис. 3, *a*, из которого видно, что уменьшение значения этого параметра приводит к уменьшению амплитуды и частоты колебаний.

Изменение толщины вязкоупругой пластины по закону (11) при равных объемах пластин постоянной и переменной толщины приводит к незначительному уменьшению максимальных перемещений, что видно на рис. 3, *b*.

Влияние изменения толщины вязкоупругой пластины по закону (12) графически представлено на рис. 3, *c*. Таким образом, из рис. 2 и 3 видно, что увеличение значения параметра  $r$  приводит к уменьшению амплитуды и частоты колебаний, а также смещению фаз вправо.

**Выводы.** Анализ результатов вычислительных экспериментов по исследованию нелинейных динамических задач о колебаниях вязкоупругих пластин с переменной толщиной, позволяет сделать следующие выводы.

1. Влияние вязкоупругих свойств материала пластины переменной толщины приводит к уменьшению амплитуды колебаний, а уменьшение значения реологического параметра  $\alpha$  — к уменьшению их частоты.

2. Характер колебаний существенно зависит от изменения толщины вязкоупругой пластины. Изменение ее толщины по линейному закону, при равных объемах пластин постоянной и переменной толщины, приводит к уменьшению максимальных перемещений, а изменение толщины пластины по закону (12) с течением времени приводит к уменьшению их амплитуды и частоты колебаний и к смещению фаз вправо.

A numerical method and an algorithm for solution of the system of the Volterra type integro-differential equations are presented. Problems on nonlinear oscillations of viscoelastic rectangular plates of variable thickness were solved by the offered method.

1. Ильюшин А. А., Победря Б. Е. Основы математической теории термовязкоупругости. — М. : Наука, 1970. — 280 с.
2. Колтунов М. А. Ползучесть и релаксация. — М. : Высшая школа, 1976. — 276 с.
3. Вольмир А. С. Нелинейная динамика пластинок и оболочек. — М. : Наука, 1972. — 432 с.
4. Верлань А. Ф., Эшматов Х., Эшматов Б. Х. и др. Математическое моделирование нелинейных колебаний и исследование динамической устойчивости вязкоупругих прямоугольных пластин и цилиндрических панелей. I // Электрон. моделирование. — 2009. — № 31. — С. 3—19.
5. Григоренко Я. М., Крюков Н. Н. Численное решение задач статики гибких слоистых оболочек с переменными параметрами. — Киев : Наук.думка, 1988. — 264 с.
6. Карнаухов В. Г., Сенчеков И. К., Гуменюк Б. П. Термомеханическое поведение вязкоупругих тел при гармоническом нагружении. — Киев : Наук. думка, 1985. — 288 с.
7. Михлин С. Г. Численная реализация вариационных методов. — М. : Наука, 1966. — 432 с.

8. Бадалов Ф. Б., Эшматов Х., Юсупов М. О некоторых методах решения систем интегро-дифференциальных уравнений, встречающихся в задачах вязкоупругости // ПММ. — 1987. — № 5 (51). — С. 867—871.
9. Эшматов Х. Интегральный метод математического моделирования задач динамики вязкоупругих систем: Дис... д-ра техн. наук. — Киев, 1991. — 337 с.

Поступила 15.12.09

*ВЕРЛАНЬ Анатолий Федорович, д-р техн. наук, зав. отделом Ин-та проблем моделирования в энергетике им. Г.Е. Пухова НАН Украины. В 1956 г. окончил Киевский политехнический ин-т. Область научных исследований — методы математического и компьютерного моделирования в задачах исследования динамических систем, электрических цепей; численные методы и алгоритмы решения интегральных уравнений.*

*АБДИКАРИМОВ Рустамхан Алимханович, канд.техн.наук, доцент кафедры математики Ташкентского финансового института. В 1982 г. окончил Ташкентский Государственный университет. Область научных исследований — математическое моделирование.*

*ЭШМАТОВ Хасан, д-р техн. наук, зав. кафедрой информационных технологий Ташкентского ин-та ирригации и мелиорации. В 1969 г. окончил Самаркандский госуниверситет. Область научных исследований — математическое моделирование.*